

高等学校专修科教学用书

化学生产机器及设备

(初 稿)
中 册

华东化工学院化工机器及设备教研组编

人民教育出版社

高等学校专修科教学用书



化 学 生 产 机 器 及 設 备
(初 稿)
中 册

华东化工学院化工机器及设备教研组编

人 民 教 育 出 版 社

高等学校专修科教学用书



化 学 生 产 机 器 及 設 备

(初 稿)

下 册

华东化工学院化工机器及设备教研组编

人 民 教 育 出 版 社

本书是华东化工学院化工机器及设备专修科(二年制)所用的教材。在本教材中综合了“腐蚀与化工材料”、“化工过程及设备”、“泵与压缩机”及“化学生产机器及设备”四门密切相联系的课程的内容。

全书分为上、中、下三册出版。上册包括绪论、基本构造材料及其结构特点、容器与设备的壳体、流体的流动与输送等四部分。中册包括非均一系的分离及分离设备、传热过程及设备两部分。下册包括化学反应设备、传质过程及设备、冷冻及深度冷冻设备、固体粉碎设备等四部分。

书中对各种典型的化学生产机器及设备，从材料选择、过程原理、结构分析、强度计算、设计步骤、运转要点等角度进行了全面分析。并且书中反映了我国化学工业和化工机械技术的大跃进情况，介绍了我国的创造发明和技术革命成就。此外，书中内容也密切与我国实际相结合，无论在材料选择，以及在设备选用方面，均注意到了我国具体条件。

本书可供高等学校专修科、中等专业学校、半日制技术学校以及工厂业余大学化工机器及设备专业作为教材，亦可供化工企业部门中的化工机械工作人员作为工作中的参考。

化学生产机器及设备

(初稿)

中册

华东化工学院化工
机器及设备教研组 编

人民教育出版社出版 高等学校教学用书编审会
北京宣武门内承恩寺7号

(北京市书刊出版业营业登记证字第2号)

北京外文印刷厂印装
新华书店科技发行所发行
各地新华书店经售

统一书号：13010·972 开本 787×1092 1/16 印张 12 3/4
字数 800,000 印数 00001~10,000 定价 (7) 元 1.20
1961年3月第1版 1961年3月北京第1次印刷

本书是华东化工学院化工机器及设备专修科(二年制)所用的教材。在本教材中综合了“腐蚀与化工材料”、“化工过程及设备”“泵与压气机”及“化学生产机器及设备”四门密切相联系的课程的内容。

全书分为上、中、下三册出版。上册包括绪论、基本构造材料及其结构特点、容器与设备的壳体、流体的流动与搅拌等四部分。中册包括非均一系的分离及分离设备、传热过程及设备两部分。下册包括化学反应设备、传质过程及设备、冷冻及深度冷冻设备、固体粉碎设备等四部分。

书中对各种典型的化学生产机器及设备，从材料选择、过程原理、结构分析、强度计算、设计步骤、运转要点等角度进行了全面的分析，并且书中反映了我国化学工业和化工机械技术的大跃进情况，介绍了我国的创造发明和技术革命成就。此外，书中内容也密切与我国实际相结合，无论在材料选择，以及在设备选用等方面，均注意到了我国具体条件。

本书可供高等学校专修科、中等专业学校、半日制技术学校、以及工厂业余大学化工机器及设备专业作为教材，亦可供化工企业部门中的化工机械工作人员作为工作中的参考。

化学生产机器及设备

(初稿)

下册

华东化工学院化工
机器及设备教研组编

人民教育出版社出版
(北京高等教育出版社代售)

北京外文印刷厂印装
新华书店科技发行所发行
各地新华书店经售

第一册 15010·936 开本 787×1098 1/16 印张 17 1/2 捷河 2
字数 377,000 印数 00001—10,000 定价(7) 1·70
1961年3月第1版 1961年3月北京新华书店

中冊目錄

第四章 非均一系的分离及分离设备	255	第五章 傳熱過程与設備	365
一、气体的淨制	255	一、傳熱學	365
§ 4-1. 气相非均一系	255	§ 5-1. 热傳导	365
§ 4-2. 气体的干法淨制	256	§ 5-2. 对流傳热	369
§ 4-3. 气体的湿法淨制	265	§ 5-3. 热輻射	380
§ 4-4. 气体的过滤淨制	274	§ 5-4. 联合傳热	384
§ 4-5. 气体的电淨制	276	§ 5-5. 間壁傳热計算	384
二、液相非均一系的沉降分离	280	二、加热、冷却与冷凝	391
§ 4-6. 液相非均一系	280	§ 5-6. 加热	391
§ 4-7. 沉降原理	281	§ 5-7. 蒸汽加热	391
§ 4-8. 沉降设备	283	§ 5-8. 冷凝水与不凝性气体的排除	392
§ 4-9. 沉淀的洗涤	288	§ 5-9. 冷却与冷凝	393
§ 4-10. 水力旋风分离器	289	三、热交換器	397
三、过滤	289	§ 5-10. 沉浸式蛇管热交換器	397
§ 4-11. 过滤过程	290	§ 5-11. 噴淋式蛇管热交換器	399
§ 4-12. 简单的間歇过滤设备	298	§ 5-12. 套管式热交換器	401
§ 4-13. 压滤机	300	§ 5-13. 列管式热交換器	403
§ 4-14. 叶滤机	306	§ 5-14. 列管式热交換器的計算与設計	408
§ 4-15. 轉筒連續真空过滤机	308	§ 5-15. 傳熱面用板做的热交換器	422
§ 4-16. 其他型式的連續过滤机	324	§ 5-16. 热交換器的流体力学計算	423
§ 4-17. 真空連續过滤机的装置和运转	330	§ 5-17. 热交換器的流程	424
§ 4-18. 各种过滤机的比較和选择	331	§ 5-18. 各种类型热交換器的比較	425
四、离心分离	333	§ 5-19. 热交換器的設計程序	428
§ 4-19. 离心分离过程	333	四、蒸发	429
§ 4-20. 离心分离过程的工艺計算	334	§ 5-20. 基本概念	429
§ 4-21. 离心机主要部件的结构与强度	340	§ 5-21. 蒸发的工业方法	429
§ 4-22. 离心机的分类	347	§ 5-22. 多效蒸发的計算	433
§ 4-23. 人工操作的間歇式常速离心机	347	§ 5-23. 蒸发设备	438
§ 4-24. 自动操作的間歇式常速离心机——刮刀卸料式自动离心机	354	§ 5-24. 蒸发器的若干结构問題	443
§ 4-25. 自动連續离心机	357	§ 5-25. 除沫分离装置	445
§ 4-26. 各式常速离心机的評述	359		
§ 4-27. 高速离心机	360		
§ 4-28. 离心机的运转	363		

下冊目錄

第六章 反應設備	447	§ 7-25. 傳遞單元法.....	533
一、反應鍋	447	§ 7-26. 等板高度法.....	533
§ 6-1. 反應鍋的物料衡算與熱量衡算.....	447	§ 7-27. 吸收塔操作上的若干問題.....	534
§ 6-2. 反應鍋主尺寸的決定.....	448	四、萃取	536
§ 6-3. 反應鍋主要部件的構造.....	448	§ 7-28. 概述.....	536
二、固定床接觸反應設備	466	§ 7-29. 液體萃取中的相平衡關係.....	536
§ 6-4. 接觸反應過程的概念.....	466	§ 7-30. 液體萃取設備.....	538
§ 6-5. 接觸反應過程的最適宜操作條件及工藝計算	467	§ 7-31. 溶劑互不相溶時向流多級萃取的計算.....	542
§ 6-6. 接觸反應器的類型和結構.....	473	§ 7-32. 溶劑部分互溶時向流多級萃取的計算.....	543
三、沸騰床反應設備	480	§ 7-33. 液體萃取操作上的若干問題.....	545
§ 6-7. 固體流態化的基本原理.....	480	§ 7-34. 固體萃取設備.....	546
§ 6-8. 硫鐵矿沸騰焙燒爐.....	481	§ 7-35. 多級向流固體萃取的計算.....	549
第七章 傳質過程及設備	485	五、塔器	550
一、傳質學概念	485	§ 7-36. 概述.....	550
§ 7-1. 傳質過程.....	485	(一) 填充塔.....	551
§ 7-2. 各相組成的表示方法.....	486	§ 7-37. 填料特性.....	551
§ 7-3. 相的平衡.....	487	§ 7-38. 填充塔的流体力學.....	554
§ 7-4. 分子擴散.....	489	§ 7-39. 填充塔的尺寸及結構.....	559
§ 7-5. 對流擴散.....	491	(二) 泡罩塔.....	567
二、蒸餾	491	§ 7-40. 泡罩塔的流体力學.....	567
§ 7-6. 概述.....	491	§ 7-41. 塔板的布置及主要尺寸的決定.....	571
§ 7-7. 理想溶液的相平衡關係.....	492	§ 7-42. 泡罩塔結構.....	575
§ 7-8. 非理想溶液的相平衡關係.....	495	(三) 節板塔.....	577
§ 7-9. 簡單蒸餾.....	498	§ 7-43. 節板塔的流体力學.....	577
§ 7-10. 水蒸汽蒸餾.....	500	§ 7-44. 節板塔主要尺寸的決定.....	580
§ 7-11. 精餾原理.....	501	§ 7-45. 各種塔器的比較.....	581
§ 7-12. 精餾流程.....	503	六、干燥	581
§ 7-13. 精餾塔操作的計算.....	504	§ 7-46. 概述.....	581
§ 7-14. 雙組分系統連續精餾時理想板數的圖解法.....	509	§ 7-47. 表征干燥介質狀態的參數.....	582
§ 7-15. 板效率實際塔板數與理想塔板數間的 關係.....	511	§ 7-48. 濕空氣的熱焓圖($I-x$ 圖).....	585
§ 7-16. 影響精餾塔操作的若干因素.....	512	§ 7-49. 干燥器的物料衡算和熱量衡算.....	587
§ 7-17. 精餾塔的附屬設備.....	515	§ 7-50. 干燥速度.....	592
§ 7-18. 精餾塔理想塔板數的近似計算法.....	515	§ 7-51. 干燥流程.....	593
§ 7-19. 特殊蒸餾方法.....	516	§ 7-52. 干燥器主要尺寸的計算.....	593
三、吸收	518	§ 7-53. 干燥器的類型.....	599
§ 7-20. 概述.....	518	§ 7-54. 層式干燥器.....	604
§ 7-21. 相平衡關係.....	519	§ 7-55. 滾道式干燥器.....	604
§ 7-22. 吸收方程式.....	521	§ 7-56. 帶攪拌器的干燥器.....	604
§ 7-23. 吸收設備.....	523	§ 7-57. 滾洞式干燥器.....	604
§ 7-24. 吸收塔操作的計算.....	528	§ 7-58. 氣流式干燥器.....	604
		§ 7-59. 噴霧干燥器.....	604
		§ 7-60. 轉筒干燥器.....	606
		§ 7-61. 轉盤干燥器筒身的結構及其溫度計算.....	610

目 录

§ 7-62. 转筒的支承装置.....	612	§ 8-14. 氮预冷的一次节流膨胀循环.....	656
§ 7-63. 转筒的传动及功率.....	620	§ 8-15. 具有二次节流膨胀的循环.....	657
§ 7-64. 转筒的进出料及密封.....	623	§ 8-16. 具有膨胀机的中温中压循环.....	658
§ 7-65. 转筒的安装运转注意事项.....	624	§ 8-17. 具有膨胀机的高温高压循环.....	660
第八章 冷冻及深度冷冻设备.....	626	§ 8-18. 具有膨胀机的低温低压循环.....	661
一、冷冻.....	626	§ 8-19. 各种深度冷冻循环的比较.....	662
§ 8-1. 冷冻原理、冷冻系数、冷冻能力及功率计算.....	626	§ 8-20. 逐级液化工作循环.....	663
§ 8-2. 冷冻操作的物理基础.....	627	四、空气的分离.....	664
§ 8-3. 冷冻机和冷冻剂.....	629	§ 8-21. 空气的蒸发和冷凝.....	664
§ 8-4. 压缩蒸气冷冻机.....	635	§ 8-22. 空气的分馏和精馏.....	665
§ 8-5. 压缩冷冻机组成部分.....	640	§ 8-23. 制氧设备.....	667
§ 8-6. 涡流管冷冻.....	641	第九章 固体粉碎设备.....	676
§ 8-7. 冷冻机的应用.....	643	§ 9-1. 粉碎过程.....	676
二、深度冷冻.....	644	§ 9-2. 颚式破碎机.....	683
§ 8-8. 深度冷冻的物理基础.....	645	§ 9-3. 锥式破碎机.....	687
§ 8-9. 节流膨胀.....	646	§ 9-4. 滚碎机.....	691
§ 8-10. 作外功的绝热膨胀.....	649	§ 9-5. 轮碾机.....	698
§ 8-11. 热力学图表.....	650	§ 9-6. 环滚研磨机.....	698
§ 8-12. 循环的冷冻能力.....	651	§ 9-7. 利用撞击作用的粉碎机.....	698
三、深度冷冻工作循环.....	653	§ 9-8. 涡转圆筒式磨.....	701
§ 8-13. 一次节流膨胀循环及其计算.....	653	§ 9-9. 超细磨.....	710

第四章 非均一系的分离及分离设备

一、气体的净化

§ 4-1. 气相非均一系

在任一物系中，一切具有相同的物理性质与化学性质的均匀部分的总合（与物质的量及其是否为整块或分为许多小块无关）称为“相”。例如由水和冰构成的物系具有两个相，水为一相，而所有的冰，无论其为一整块或分散成许多小块，构成另一相。

物系中如果只有一个相，则该物系称为均一系。

非均一系为由两个或更多的相组成的物系。

在两相非均一系中，一般其中之一相是以微细的分散状态存在，称为分散物质或分散内相；另一相则是连续的，围绕在分散物质粒子的周围，成为分散物质粒子分散于其中的介质，称为分散介质或分散外相。

应该指出，在两种以上的物质组成的均一系中，亦有分散介质与分散物质之分，只是在均一系中分散物质以分子或原子的状态存在，如糖的水溶液。在非均一系中，分散物质以众多分子或原子构成的微粒（或小块）存在。

一物系内，分散物质和分散介质可以以任一物态（固态、液态或气态）存在。

气相非均一系中，分散介质为气体，而分散物质为固体或液体的微粒。可以认为气相非均一系是固体或液体微粒在气体中的悬浮系统。

表示微粒大小的长度单位一般用〔微米〕，1微米等于 10^{-3} 〔毫米〕（即 10^{-6} 〔米〕或 10^{-4} 〔厘米〕）。当分散物质的微粒小到1微米以下时，开始发生布朗运动；小到0.1微米以下时，布朗运动很显著，此时微粒已经不会在重力作用下自行沉降下来，而会永远保持悬浮状态存在。

气相非均一系根据其生成原因，可分为机械性的与凝聚性的两大类，它们间的主要区别是粒子大小不同。

机械性的气相非均一系，系将固体研成粉末，或将液体喷成雾沫分散于气体中而形成；固体粉末粒子的大小常在5—50微米之间。

凝聚性的气相非均一系中，悬浮质点的生成系由气体或蒸气质点的凝聚或由两种气体或蒸气经过化学反应产生了微粒而得；若凝聚所得微粒为固体，则称为烟，若为液体则称为雾。例如氯化氢与氨相遇，发生氯化铵烟，三氧化硫与水汽相遇，发生硫酸雾。此种物系中颗粒的大小常在0.3—3微米之间。

工业上常见的气相非均一系中悬浮微粒的大小见表4-1。

应当指出，凝聚系统的粒子有可能结成比较大的团，以致其大小变得比机械悬浮物的粒子还大；另一方面，由燃烧固体物质（例如在粉状硫铁矿焙烧炉中）、喷雾法干燥等所得到的悬浮于气体中的固体粒子，其大小又可能与凝聚的粒子相近。

表 4-1 工业上常见的气相非均一系

微粒种类	微粒直径(微米)	微粒种类	微粒直径(微米)
粉末:		烟:	
水泥	40	烟草	0.25
面粉	15—20	氯化镁	0.1—1
锌粉(喷雾的)	15	氯化锌	0.05
煤	10	雾:	
颜料	2—5	硫酸(浓缩时产生)	0.16—1.1
锌粉(凝聚的)	2	焦油(发生炉气或 焦炉气中)	0.001—0.1
氯化锌	0.5		

气体的净化即是将上述微粒从气体中除去的过程。在化学工业中气体的净化的主要目的是:

1. 除去对生产有害的微粒，并保证产品质量。例如，在接触法硫酸制造中，必须把原料气中砷、硒化合物的微粒除尽，否则将使触媒中毒。
2. 收集微粒状的成品，如炭黑制造中炭黑的收集。
3. 从工业废气中回收有用的物质，如炼焦工业中从煤气中收回焦油，制糖工业的干燥气流中收回糖粉等。
4. 为了劳动保护和城市卫生，例如工业废气中灰尘及酸雾的去除等。

气体净化的方法，大致可分为四类:

1. 干法净化，即是使微粒受重力作用或离心力作用而沉降。
2. 湿法净化，即是使气体与水或其他液体接触，分散物质的微粒为液体所洗去。
3. 过滤净化，即是使气体通过一种过滤介质，将分散物质的微粒截留。
4. 电净化，即是使气体中的微粒在高压电场内沉降。

净化方法的选择视微粒的大小，对净化程度的要求，分散物质的性质和微粒的有用与否而定。

§ 4-2 气体的干法净化

气体的干法净化，亦称机械净化，系利用机械力(重力或离心力)的作用使悬浮的微粒沉降而达到分离的目的。

1. 利用重力作用的气体净化——沉降器

(1) 微粒的沉降速度 当物体在真空中降落时，其瞬时速度可依下式求得:

$$w = g\tau \quad (4-1)$$

式中 w —— 瞬时的降落速度，[米/秒]； τ —— 降落时间，[秒]； g —— 重力加速度，等于 9.81 [米/秒²]。

用此公式也可相当准确地求出大物体在空气(或气体介质)中的降落速度，因为此时介质的阻力不大，整个地心引力不过降低 0.05—0.1%。

但是当一个体积很小的物体(如≤100 微米的微粒)降落时，则气体介质的阻力的影响就显

得相当大。微粒降落时最初为加速运动，经过一个比较短的时间后，介质的摩擦阻力即与重力相等，此时即变为等速运动。这一等速下降的速度称为沉降速度，以 w_0 [米/秒] 表示。

球形微粒在气体中沉降时所遇到的介质阻力 S ，可用牛顿阻力定律求之，即

$$S = \frac{\zeta' F \gamma_2 w_0^2}{2g} [\text{公斤}] \quad (4-2)$$

式中 F ——球形微粒在其降落方向上的投影面积 [米²]； γ_2 ——气体的重度 [公斤/米³]；
 ζ' ——阻力系数。

设 d 为球形微粒的直径 [米]，则 $F = \frac{\pi}{4} d^2$ ，故式(4-2)又可写为

$$S = \zeta' \frac{\pi d^2}{4} \gamma_2 \frac{w_0^2}{2g} [\text{公斤}] \quad (4-3)$$

作用于球形微粒上的重力应等于微粒的重量减去气体介质对微粒的浮力，即

$$G = \frac{\pi d^3}{6} (\gamma_1 - \gamma_2) [\text{公斤}] \quad (4-4)$$

式中 G ——作用于微粒上的重力，[公斤]； γ_1 ——分散物质(微粒)的重度，[公斤/米³]。

当微粒等速下降时， $S = G$ ，即

$$\frac{\pi d^3}{6} (\gamma_1 - \gamma_2) = \zeta' \frac{\pi d^2}{4} \gamma_2 \frac{w_0^2}{2g} \quad (4-5)$$

由此可得阻力系数 ζ' 之值

$$\zeta' = \frac{4gd(\gamma_1 - \gamma_2)}{3\gamma_2 w_0^2} \quad (4-6)$$

介质的阻力与介质的物理性质(重度 γ_2 ，粘度 μ)，微粒的大小和形状，以及微粒沉降的速度 w_0 等有关。从实验得知，阻力系数 ζ' 亦为雷诺准数 Re 之函数，与流体在管内流动时的阻力情况类似。此处，雷诺准数之值为：

$$Re = \frac{dw_0\gamma_2}{\mu g} \quad (4-7)$$

式中， d ——微粒直径，[米]； w_0 ——沉降速度，[米/秒]； γ_2 ——分散介质(气体)之重度，[公斤/米³]； μ ——分散介质之粘度，[公斤·秒/米²]； g ——重力加速度，等于 9.81 [米/秒²]。

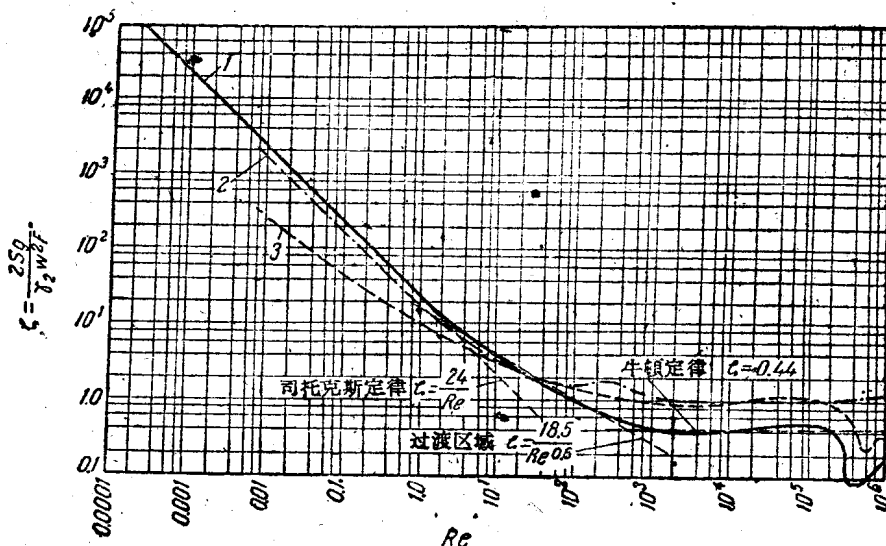
球形微粒、圆柱形微粒与圆盘形微粒在沉降时，阻力系数 ζ' 与雷诺准数 Re 的关系的实验数据绘于图 4-1。由图可见，其变化规律与流体在管内流动时的阻力规律是相类似的。当 $Re < 1$ 时， ζ' 与 Re 之关系呈直线关系，此时称为滞流区域。当 $Re = 500—150000$ 时， ζ' 趋近于常数 0.44 之值，此时称为湍流区域。当 $Re = 1—500$ 时， ζ' 与 Re 成指数关系，此时称为过渡流区域。当 $Re > 150000$ 时， ζ' 骤然减小，呈现不规则的现象。

为了便于计算，对于球形物体，各区域中的 ζ' 与 Re 之关系也可按下列诸公式计算：

a. 滞流区域， $Re < 1$ ；

$$\zeta' = \frac{24}{Re} \quad (4-8)$$

b. 过渡流区域， $Re = 1—500$ ，可以近似地取

图 4-1. 不同形状的微粒沉降时 ζ' 与 Re 的关系:

1—圆球形；2—圆盘形；3—圆柱形。

$$\zeta' = \frac{18.5}{Re^{0.6}}; \quad (4-9)$$

b. 湍流区域, $Re = 500 - 150000$

$$\zeta' = 0.44. \quad (4-10)$$

对于湍流区域, 可将式(4-8)代入式(4-6), 得到湍流时沉降速度的公式

$$w_0 = \frac{d^2(\gamma_1 - \gamma_2)}{18\mu} \text{ [米/秒]}, \quad (4-11)$$

此式又称为斯托克斯定律。由上式可见, 此时沉降速度与微粒直径的平方及微粒与介质的重度差成正比, 而与介质的粘度成反比。

对于湍流区域, 可将式(4-10)代入式(4-6), 得到湍流时的沉降速度公式,

$$w_0 = 1.74 \sqrt{\frac{gd(\gamma_1 - \gamma_2)}{\gamma_2}} \text{ [米/秒]}. \quad (4-12)$$

对于过渡流, 只能由式(4-9)算出 ζ' 之值, 然后代入式(4-6)从中解出 w_0 之值。

$$w_0 = \sqrt{\frac{4gd(\gamma_1 - \gamma_2)}{3\gamma_2 \zeta'}} \text{ [米/秒]}. \quad (4-13)$$

显然, 式(4-13)亦适用于任何区域。

由于 ζ' 为 Re 之函数, 亦即 w_0 之函数, 故在作上面的计算时必须用试差法。实际上, 可根据估计的沉降区域而采用较简单的式(4-11)或(4-12)以求得 w_{01} 然后以 Re 之数值复验之。对气相非均一系而言, 气体介质的重度 γ_2 远较微粒的重度 γ_1 为小, 因此在式(4-11)、式(4-12)及式(4-13)中亦可将 γ_2 自 $(\gamma_1 - \gamma_2)$ 一项中略去, 而得到下列简化公式:

a. 对湍流区域, $w_0 = \frac{d^2 \gamma_1}{18\mu}; \quad (4-14)$

6. 对湍流区域,

$$w_0 = 1.74 \sqrt{\frac{gd\gamma_1}{\gamma_2}}; \quad (4-15)$$

B. 对任何区域,

$$w_0 = \sqrt{\frac{4gd\gamma_1}{3\gamma_2 c_s}}. \quad (4-16)$$

上述公式均系根据光滑的球形粒子导出,但实际上工业中遇到的微粒多非球形,也不一定光滑。对于非球形体,各式中之直径 d 需代以相当于球形微粒的当量直径 d_s ; 当量直径可由下式计算:

$$d_s = 1.24 \sqrt{\frac{G_1}{\gamma_1}}, \quad (4-17)$$

式中, G_1 —粒子重量[公斤]; γ_1 —粒子重度[公斤/米³]。

非球形微粒的实际沉降速度约为上述各式算出之理论沉降速度的 50—60%。

(2) 沉降器的生产能力 当一固体微粒随同气体进入一沉降器时,固体微粒受重力作用以 w_0 的沉降速度下降而同时以等于气流速度 w 的速度通过沉降器。此粒子的绝对运动速度为 w_0 与 w 速度的向量之和,可以用 w_0 与 w 所组成的一平行四边形的对角线表示,如图 4-2 所示。因此,沉降器应有适当的长度 l ,才能使此粒子在随气体离开沉降器之前有足够的空间沉降到器底。

为了使粒子的沉降少受干扰,气体水平流过沉降器时的气体流动的雷诺准数应保持在滞流范围之内,通常小于 1400—1700,即

$$Re_a = \frac{Dew\gamma_2}{\mu g} \leq 1400 - 1700, \quad (4-18)$$

式中, D_e —气体所通过的沉降器的截面的当量直径 [米]; w —气体水平通过沉降器的流速[米/秒]; 其余符号同前。

沉降器的生产能力可以以每秒钟所能处理的气体的体积,亦即气体的体积流量 V_b [米³/秒],表示之。参阅图 4-2,以 l 为沉降器的长度, H 为其高度, b 为其宽度,单位均为[米]。

令 $\tau = \frac{H}{w_0}$ [秒]代表悬浮粒子的沉降时间; 又令 $\tau' = \frac{l}{w}$ [秒]代表气体流过沉降器的时间。显然粒子沉降所需时间 τ 必须小于(至多等于)气体在沉降器内停留的时间 τ' ,否则粒子未及沉降,已为气流所带走。故沉降器的尺寸应满足下列条件:

$$\tau \leq \tau'; \quad \frac{H}{w_0} \leq \frac{l}{w}. \quad (4-19)$$

沉降器垂直于气体流动方向的截面积为 $F' = bH$,由此

$$V_b = F'w = bHw = bH\left(\frac{l}{\tau'}\right) = bl\frac{H}{\tau'} = F\frac{H}{\tau'},$$

式中, $bl = F$ 为沉降器的水平截面积,由于 $\tau' \geq \tau$,故 $\frac{H}{\tau'} \leq \frac{H}{\tau}$,而 $\frac{H}{\tau} = w_0$,由此可知沉降器的生产能力为

$$V_b \leq Fw_0 \text{[米}^3/\text{秒}] \quad (4-20)$$

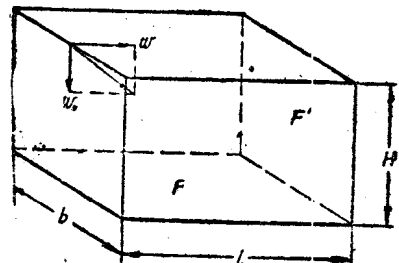


图 4-2. 沉降器的计算。

由式(4-17)可知：沉降器的生产能力在理论上与其高度及容积无关，而仅与其水平截面积及粒子的沉降速度有关。

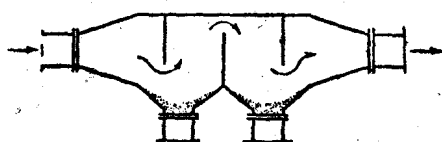


图 4-3. 降尘气道。

(3) 沉降器的构造 最简单的沉降器为“除尘气道”，

即在气体管路中安装一扩大部分，如图 4-3 所示。为了使灰尘沉降更完全，有时在气道中装上一些垂直挡板，使气体流过时改变方向，所含微粒的一部分与挡板相撞而下沉。

为了除去热的燃烧炉气中的灰尘，可采用除尘室（图 4-4），除尘室的墙用砖砌成，中间放有许多水平隔板。隔板常用钢板制造，板间的距离通常为 40—100[毫米]。沉降在除尘室内的灰尘经过一定时间用耙扫出。为了保证操作的连续性，不致因扫除沉积的灰尘而停止生产，通常设置两个除尘室，或者将一个除尘室分为两部，交替使用。

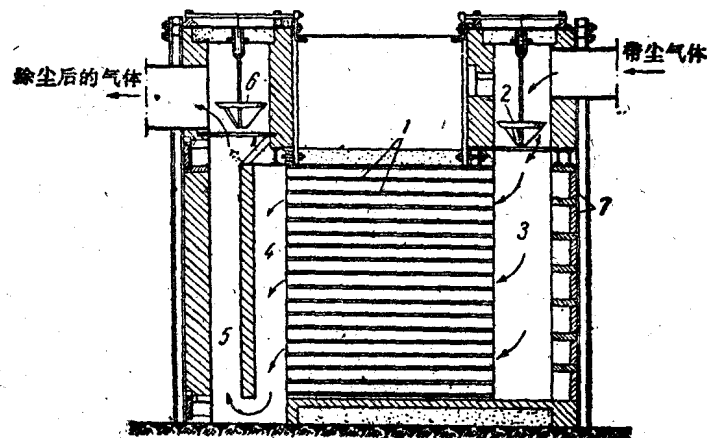


图 4-4. 除尘室：

1—隔板；2、6—调节阀；3—气体分配道；4、5—气体聚集道；
7—除尘口。

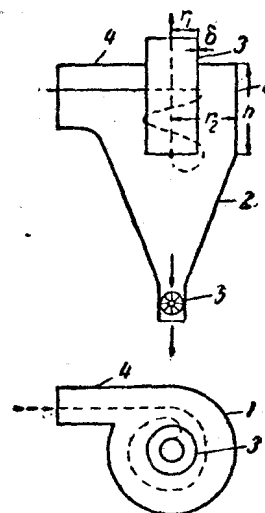


图 4-5. 旋风分离器的结构简图：

1—外壳；2—底；3—出口管；4—导管；
5—排出管。

沉降器的净化程度一般不超过 40—70%，因此只能用在气体净化的初步处理中。对于含有较细微粒的气体，沉降器效率很差，须采用其他方法。沉降器的缺点是设备笨重而效率不高。

2. 利用离心力作用的气体净化——旋风分离器 在离心力作用的沉降器（旋风分离器）内，气体作迴旋运动而产生离心力；悬浮的粒子由于具有较大的质量而具有相当大的惯性，在离心力作用下，除随气流旋转外，并产生径向的运动，因而与气体的主流分开而向器壁甩去，碰到器壁而后落下。图 4-5 为旋风分离器的示意图；气体由切线方向进入旋风分离器，在器内旋转若干圈后由中央的出口管 3 出去。微粒降落于器壁上，沿锥形底下落而自排出管 5 排出。

(1) 沉降速度 设 G 为固体粒子的重量， w 为其旋转的圆周速度， r 为旋转半径，则粒子所受的离心力为

$$C = \frac{Cw^2}{gr} \quad [\text{公斤}] \quad (4-21)$$

自式(4-2)得知, 气体对粒子的摩擦阻力为

$$S = \frac{\zeta' F \gamma_2 w_0^2}{2g} \quad [\text{公斤}] \quad (4-2)$$

设粒子的直径为 d , 其重度为 γ_1 , 则 $G = \frac{\pi}{6} d^3 \gamma_1$ 而 $F = \frac{\pi}{4} d^2$

当摩擦阻力与离心力达到平衡时, $S = C$, 即

$$\zeta' \frac{\pi d^2}{4} \gamma_2 \frac{w_0^2}{2g} = \frac{\pi d^3 \gamma_1}{6} \cdot \frac{w^2}{gr}$$

由此可求出粒子的沉降速度 w_0 , 即

$$w_0 = \sqrt{\frac{4d\gamma_1}{3\zeta' \gamma_2} \cdot \frac{w^2}{r}} \quad [\text{米/秒}] \quad (4-22)$$

将式(4-22)与式(4-16)比较, 可知在式(4-22)中以离心加速度 $\frac{w_0^2}{r}$ 代替了式(4-16)中的重力加速度 g 。由于 $\frac{w_0}{r}$ 常较 g 为大, 故旋风分离器中的沉降速度较沉降器为大。

当 $Re \leq 1$ 时, 对球形粒子, $\zeta' = \frac{24}{Re} = \frac{24\mu g}{dw_0 \gamma_2}$ 。将 ζ' 之值代入式(4-22), 可得:

$$w_0^2 = \frac{d^2 \gamma_1}{18\mu g} \cdot \frac{w^2}{r} \quad [\text{米/秒}] \quad (4-23)$$

由此式可见, 在旋风分离器内, 悬浮粒子的沉降速度 w_0 随气体旋转速度 w 的增大而增大, 随旋转半径 r 的增大而减小。微粒的沉降速度理论上为两个速度的合量, 即: (1)由重力作用而产生的向下的沉降速度; (2)由离心力作用而产生的沿径向的沉降速度。但由于前者远较后者为小, 所以实际上重力的影响可略而不计。

由式(4-23)亦可看出, w_0 与 w 成平方关系; 因此, 如果旋风分离器不在所设计的全负荷下操作, w 的降低将使 w_0 大为降低, 也就是会使旋风分离器的效率大为降低。

以上所述, 系假定悬浮尘粒相互间不发生作用。实际上当气体中悬浮尘粒的浓度比较大时, 尘粒间可能发生聚结现象, 大粒子亦可携带小粒子沉降, 就等于增大了粒子的直径, 因此实际沉降速度一般较计算的为高。

(2) 旋风分离器的构造 最简单的旋风分离器如图 4-6 所示, 它由一个圆柱形的筒身配以锥形底构成。气体进口管的截面成矩形, 气体出口管伸入器内, 其下口略低于气体进口管的底边。

改进的简单旋风分离器示于图 4-7。这种型式是苏联列宁格勒劳动保护研究所(ЛНОТ)设计的, 它的特点是有一个螺旋形的挡板, 可阻止气流向上扩展, 而引导使向一个方向前进, 这种结构中各部分尺寸的比例示于图上。

图 4-8 示苏联工业及卫生气体净化科学研究所(НИИОГАЗ)设计的旋风分离器。它的特点是净化程度较高, 但缺点是阻力较大。这种结构各部分尺寸的比例示于图上。这种旋风分离器可处理含尘量很高(每立方米气体中几百克尘粒)的气体。灰尘可由灰斗中间卸出, 亦可连续地取出; 当连续排灰时, 可用一螺旋运输机代替闸板。这类旋风分离器的直径可达 800[毫米];

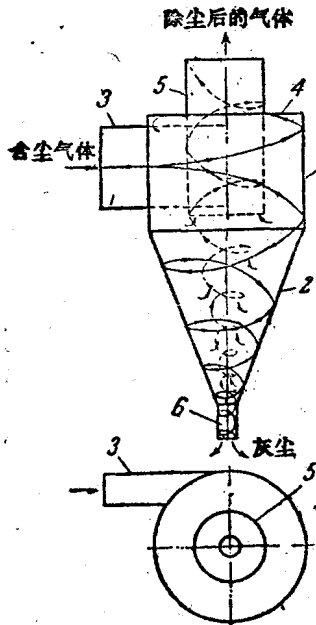


图 4-6. 旋风分离器简图。

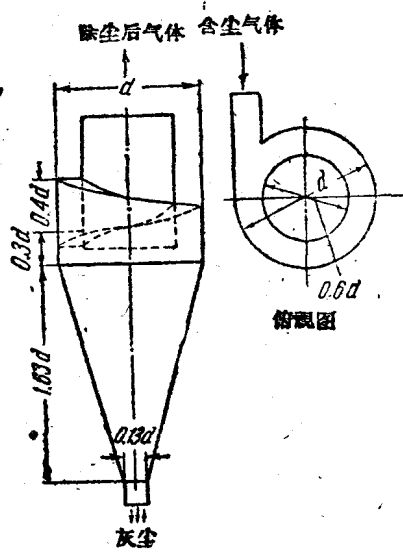


图 4-7. 改进的旋风分离器。

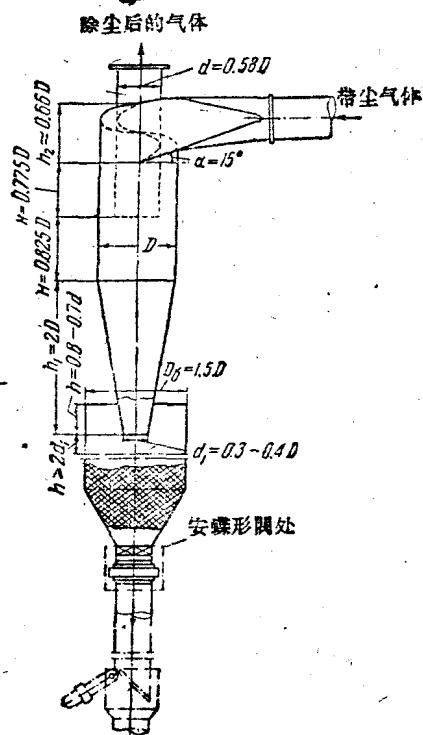


图 4-8. NIIOGAZ 型旋风分离器。

当气量較大时可以數个一组并列安装(最多可达六个)。旋风分离器錐底部为負压区，因之不能让空气从卸灰口漏入，否则会帶起尘粒，大大影响除尘效率。

由式(4-22)及式(4-23)可以看出，增加气流速度或减小气体迴轉半徑，都可使粒子沉降速度加大。然而增大气流速度将使旋风分离器的阻力大为增加，而且当气流速度增加到一定程度时，由于涡流的增加，反可使旋风分离器的效率下降。如果采用减小迴轉半徑的办法，即縮小旋风分离器的半徑，则可使离心力与微粒沉降速度增大，而无其他不良后果。因此，在設計旋风分离器时，不宜采用較大的直徑。

旋风分离器組的設計原理，即是以多个小的旋风分离器来代替单个大的旋风分离器，以提高分离效率。图 4-9 示一个具有 20 个小直徑(150—250[毫米])的旋风分离元件的旋风分离器組。图 4-10 为其中单个元件的詳图。在旋风分离器組中，当所处理气体的量有变动时，可隔断几个元件，使每个元件中的气流速度保持不变，即可使效率保持不变，这是其特殊的优点。

旋风分离器的分离效率以气体中尘粒含量的变化表示之，即

$$\eta = \frac{c_1 - c_2}{c_1},$$

式中 η — 分离效率； c_1, c_2 — 进料气体和淨制后气体中灰尘的浓度，[克/米³]。

旋风分离器的分离效率一般为 0.7—0.8，故一般用于气体的初步淨制。旋风分离器能分离的最小粒子的直徑为 1 微米。

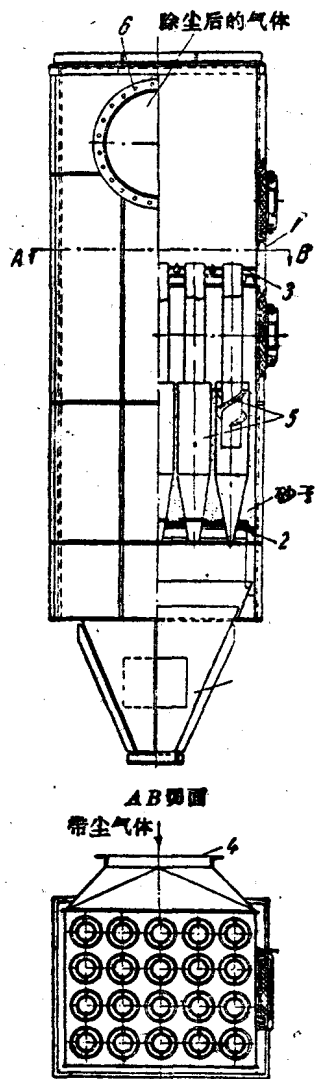


图 4-9. 旋风分离器組:

1—外壳；2、3—板；4—气体入口；5—旋风分离器元件；6—气体出口；7—锥形底。

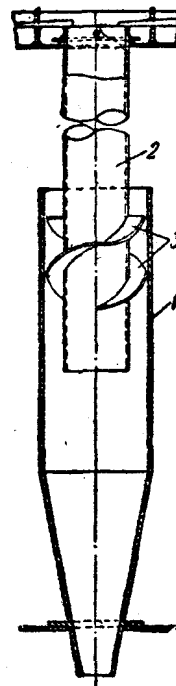


图 4-10. 旋风分离器組的元件:

1—外壳；2—出口管；3—螺旋叶片。

旋风分离器的阻力一般在 40—85 [毫米水柱] 左右。

旋风分离器可用于很高的温度(达 400°C 以上)。

对于湿度很高的气体，旋风分离器是不适用的，因为潮湿的灰尘有将排尘口堵塞的可能。由于同样的理由，旋风分离器亦不适用于含有粘着性尘粒的气体。

处理含有蒸汽的气体时，为了避免蒸汽在旋风分离器器壁或尘粒上冷凝，气体的温度应保持在露点以上。

(3) 旋风分离器的計算 旋风分离器进口处的气流速度一般取为 $w_s = 18—20$ [米/秒]，气流在旋风分离器内的速度略低于进口速度，一般約取为 $w = 12—14$ [米/秒]；气流在出口管中的速